



This is a digital copy of a book that was preserved for generations on library shelves before it was carefully scanned by Google as part of a project to make the world's books discoverable online.

It has survived long enough for the copyright to expire and the book to enter the public domain. A public domain book is one that was never subject to copyright or whose legal copyright term has expired. Whether a book is in the public domain may vary country to country. Public domain books are our gateways to the past, representing a wealth of history, culture and knowledge that's often difficult to discover.

Marks, notations and other marginalia present in the original volume will appear in this file - a reminder of this book's long journey from the publisher to a library and finally to you.

Usage guidelines

Google is proud to partner with libraries to digitize public domain materials and make them widely accessible. Public domain books belong to the public and we are merely their custodians. Nevertheless, this work is expensive, so in order to keep providing this resource, we have taken steps to prevent abuse by commercial parties, including placing technical restrictions on automated querying.

We also ask that you:

- + *Make non-commercial use of the files* We designed Google Book Search for use by individuals, and we request that you use these files for personal, non-commercial purposes.
- + *Refrain from automated querying* Do not send automated queries of any sort to Google's system: If you are conducting research on machine translation, optical character recognition or other areas where access to a large amount of text is helpful, please contact us. We encourage the use of public domain materials for these purposes and may be able to help.
- + *Maintain attribution* The Google "watermark" you see on each file is essential for informing people about this project and helping them find additional materials through Google Book Search. Please do not remove it.
- + *Keep it legal* Whatever your use, remember that you are responsible for ensuring that what you are doing is legal. Do not assume that just because we believe a book is in the public domain for users in the United States, that the work is also in the public domain for users in other countries. Whether a book is still in copyright varies from country to country, and we can't offer guidance on whether any specific use of any specific book is allowed. Please do not assume that a book's appearance in Google Book Search means it can be used in any manner anywhere in the world. Copyright infringement liability can be quite severe.

About Google Book Search

Google's mission is to organize the world's information and to make it universally accessible and useful. Google Book Search helps readers discover the world's books while helping authors and publishers reach new audiences. You can search through the full text of this book on the web at <http://books.google.com/>



Über dieses Buch

Dies ist ein digitales Exemplar eines Buches, das seit Generationen in den Regalen der Bibliotheken aufbewahrt wurde, bevor es von Google im Rahmen eines Projekts, mit dem die Bücher dieser Welt online verfügbar gemacht werden sollen, sorgfältig gescannt wurde.

Das Buch hat das Urheberrecht überdauert und kann nun öffentlich zugänglich gemacht werden. Ein öffentlich zugängliches Buch ist ein Buch, das niemals Urheberrechten unterlag oder bei dem die Schutzfrist des Urheberrechts abgelaufen ist. Ob ein Buch öffentlich zugänglich ist, kann von Land zu Land unterschiedlich sein. Öffentlich zugängliche Bücher sind unser Tor zur Vergangenheit und stellen ein geschichtliches, kulturelles und wissenschaftliches Vermögen dar, das häufig nur schwierig zu entdecken ist.

Gebrauchsspuren, Anmerkungen und andere Randbemerkungen, die im Originalband enthalten sind, finden sich auch in dieser Datei – eine Erinnerung an die lange Reise, die das Buch vom Verleger zu einer Bibliothek und weiter zu Ihnen hinter sich gebracht hat.

Nutzungsrichtlinien

Google ist stolz, mit Bibliotheken in partnerschaftlicher Zusammenarbeit öffentlich zugängliches Material zu digitalisieren und einer breiten Masse zugänglich zu machen. Öffentlich zugängliche Bücher gehören der Öffentlichkeit, und wir sind nur ihre Hüter. Nichtsdestotrotz ist diese Arbeit kostspielig. Um diese Ressource weiterhin zur Verfügung stellen zu können, haben wir Schritte unternommen, um den Missbrauch durch kommerzielle Parteien zu verhindern. Dazu gehören technische Einschränkungen für automatisierte Abfragen.

Wir bitten Sie um Einhaltung folgender Richtlinien:

- + *Nutzung der Dateien zu nichtkommerziellen Zwecken* Wir haben Google Buchsuche für Endanwender konzipiert und möchten, dass Sie diese Dateien nur für persönliche, nichtkommerzielle Zwecke verwenden.
- + *Keine automatisierten Abfragen* Senden Sie keine automatisierten Abfragen irgendwelcher Art an das Google-System. Wenn Sie Recherchen über maschinelle Übersetzung, optische Zeichenerkennung oder andere Bereiche durchführen, in denen der Zugang zu Text in großen Mengen nützlich ist, wenden Sie sich bitte an uns. Wir fördern die Nutzung des öffentlich zugänglichen Materials für diese Zwecke und können Ihnen unter Umständen helfen.
- + *Beibehaltung von Google-Markenelementen* Das "Wasserzeichen" von Google, das Sie in jeder Datei finden, ist wichtig zur Information über dieses Projekt und hilft den Anwendern weiteres Material über Google Buchsuche zu finden. Bitte entfernen Sie das Wasserzeichen nicht.
- + *Bewegen Sie sich innerhalb der Legalität* Unabhängig von Ihrem Verwendungszweck müssen Sie sich Ihrer Verantwortung bewusst sein, sicherzustellen, dass Ihre Nutzung legal ist. Gehen Sie nicht davon aus, dass ein Buch, das nach unserem Dafürhalten für Nutzer in den USA öffentlich zugänglich ist, auch für Nutzer in anderen Ländern öffentlich zugänglich ist. Ob ein Buch noch dem Urheberrecht unterliegt, ist von Land zu Land verschieden. Wir können keine Beratung leisten, ob eine bestimmte Nutzung eines bestimmten Buches gesetzlich zulässig ist. Gehen Sie nicht davon aus, dass das Erscheinen eines Buchs in Google Buchsuche bedeutet, dass es in jeder Form und überall auf der Welt verwendet werden kann. Eine Urheberrechtsverletzung kann schwerwiegende Folgen haben.

Über Google Buchsuche

Das Ziel von Google besteht darin, die weltweiten Informationen zu organisieren und allgemein nutzbar und zugänglich zu machen. Google Buchsuche hilft Lesern dabei, die Bücher dieser Welt zu entdecken, und unterstützt Autoren und Verleger dabei, neue Zielgruppen zu erreichen. Den gesamten Buchtext können Sie im Internet unter <http://books.google.com> durchsuchen.

QA

STORAGE

1 n 3

931
.A94

B 449550

DUPL

Experimental-Untersuchungen
über die
elastische Längs- und Torsions-Nachwirkung.

INAUGURAL-DISSERTATION

DER

MATHEMATISCHEN UND NATURWISSENSCHAFTLICHEN FAKULTÄT

DER

KAISER-WILHELMS-UNIVERSITÄT STRASSBURG

ZUR

ERLANGUNG DER DOCTORWÜRDE

VORGELEGT VON

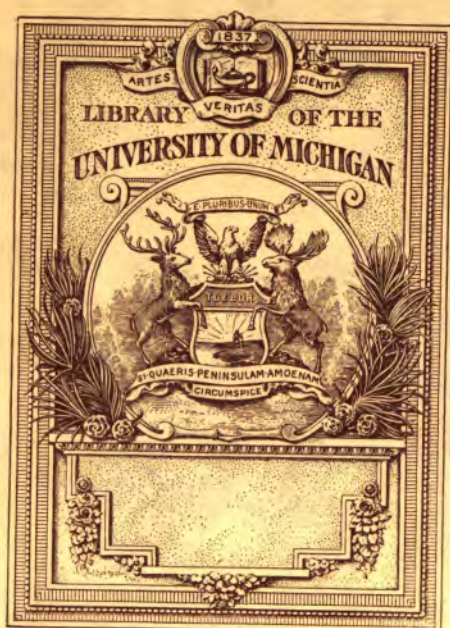
LOUIS AUSTIN

AUS ORWELL, VERMONT U. S. A.

STRASSBURG

Universitäts-Buchdruckerei von J. H. Ed. Heitz (Heitz & Mündel)

1893.



QA
931
.A94

Experimental-Untersuchungen
über die
elastische Längs- und Torsions-Nachwirkung.

INAUGURAL-DISSERTATION

DER

MATHEMATISCHEN UND NATURWISSENSCHAFTLICHEN FAKULTÄT

DER

KAISER-WILHELMS-UNIVERSITÄT STRASSBURG

ZUR

ERLANGUNG DER DOCTORWÜRDE

VORGELEGT VON

Winkel

LOUIS AUSTIN

AUS ORWELL, VERMONT U. S. A.



STRASSBURG

Universitäts-Buchdruckerei von J. H. Ed. Heitz (Heitz & Mündel)

1893.

1 Sept 16 E.B.

1. 1. 1882

Die Thatsache, dass die Deformation eines elastischen Körpers, welcher irgend einer Spannung unterworfen wurde, selbst wenn die Elasticitätsgrenze nicht überschritten war, noch längere Zeit nach der Spannung andauert, wurde bekanntlich zuerst von W. Weber¹⁾ an Seidenfäden beobachtet und von ihm mit dem Namen „elastische Nachwirkung“ belegt.

Weitere Beobachtungen über diesen Gegenstand wurden dann später von F. Kohlrausch²⁾ angestellt, welcher seine Untersuchungen auf Glasfäden, Gummifäden und verschiedene Sorten von Metalldrähten ausdehnte und bewies, dass die elastische Nachwirkung nach vorausgegangener Torsion, in allen diesen Körpern, sowie im Gummi auch nach einer Dehnung und Biegung, denselben Gesetzen folgt. Die Hauptresultate seiner Untersuchungen mögen hier kurz aufgeführt werden.

- I. War ein Körper deformirt, so ist die darauf folgende elastische Nachwirkung nahezu der Deformation proportional.
- II. Bei verschiedener Zeitdauer der Deformation ist die Nachwirkung nahe proportional einer Potenz dieser Zeit.
- III. Diese Nachwirkung wächst bedeutend mit der Temperatur.
- IV. Die Curven, welche den Verlauf der Abnahme der elastischen Nachwirkung nach der Anwendung verschieden

1) W. Weber: Pogg. Ann. XXXIV S. 247; LIV S. 1.

2) F. Kohlrausch: Pogg. Ann. CXIX S. 337; CXXVIII S. 7—207—399; CLVIII S. 337; CLX S. 225.

starker, während gleicher Zeiträume wirkender Deformationen darstellen, sind in erster Annäherung einander ähnlich.

V. In allen diesen Fällen liess die Nachwirkung sich durch die Formel ausdrücken:

$$1. \quad - \frac{dx}{dt} = \alpha \frac{x}{t^n}, \quad x = C e^{-\alpha t^m},$$

wo $\alpha = a m$ und $n = 1 - m$ ist.

Oft genügt die specielle Form ($n = 1$)

$$2. \quad - \frac{dx}{dt} = \alpha \frac{x}{t}, \quad x = \frac{c}{t^\alpha}.$$

Hier bedeutet immer t die Zeit, welche seit dem Aufhören der vorangegangenen Deformation, bezw. nach dem plötzlichen Eintreten der deformirenden Kraft verflossen ist, x den Abstand der augenblicklichen Körpergestalt von der endlichen Gleichgewichtsgestalt, α , n , C und c sind Constanten. Die Formel (2) kann, wie sich herausgestellt hat, in allen denjenigen Fällen Anwendung finden, wo der Körper nicht während allzu langer Zeit im Zustande der Spannung verblieb.

Kohlrausch untersuchte auch die auf eine Dehnung und Biegung folgende elastische Nachwirkung, beschränkte diese Beobachtungen jedoch auf Körper aus Kautschuk und Hartkautschuk.

Die späteren Beobachtungen von zahlreichen Verfassern, soweit sie sich auf die oben unter 1 und 4 ergebenden Verhältnisse bezogen, haben sich durch diese Formeln darstellen lassen.

Eine theoretisch abgeleitete Formel für die elastische Nachwirkung ist durch Boltzmann¹⁾ gegeben worden. Dieselbe beruht auf der Annahme, dass eine vorausgegangene Deformation δ , welche während der Zeit $d\theta$ bestanden hatte, eine Nachwirkung hinterlässt, die mit $\delta \cdot d\theta$ und einer Function der seitdem verflossenen Zeit θ proportional ist, ferner, dass verschiedene Nachwirkungen sich einfach superponiren.

Eine specielle Form der Boltzmann'schen Hypothese sagt, dass die Nachwirkung proportional $\delta \cdot \frac{d\theta}{\theta}$ ist.

1) Boltzmann, Pogg. Ann. Erg. Bd. VII S. 624.

Wenn also ein Körper während der Zeit T die Deformation δ erlitten hatte, so wird zu der Zeit t , gerechnet von dem Zeitpunkt, wo die Spannung aufhörte, noch eine Nachwirkung x vorhanden sein, welche, wenn p eine Constante des Körpers ist, folgende Relation befriedigt:

$$x = p \delta \int_t^{t+T} \frac{d\theta}{\theta} = p \delta \log \frac{t+T}{t}.$$

Beobachtungen über Längsnachwirkung an Metallen sind wohl nur von Miller¹⁾ angestellt worden, und zwar in einer Form, die nicht den ganzen Verlauf des Vorganges zu verfolgen gestattete.

Ich habe desshalb eine Reihe von Beobachtungen über die Längs-Nachwirkung verschiedener Drahtsorten ausgeführt und zugleich auch die Nachwirkung einer vorausgegangenen Torsion an denselben Drähten untersucht.

Es gereicht mir zur besonderen Ehre, Herrn Professor Dr. Kohlrausch auch an dieser Stelle für die Anregung, das Interesse und die vielfache Förderung, die ich durch ihn bei diesen Untersuchungen erfahren habe, meinen aufrichtigen Dank aussprechen zu dürfen.

Die Hauptfragen, welche ich in der folgenden Untersuchung zu beantworten suche, sind folgende:

- I. Folgt die durch eine Dehnung hervorgerufene elastische Nachwirkung denselben Gesetzen, wie die durch Torsion veranlasste?
- II. In welcher Weise hängt die Geschwindigkeit der Rückkehr zu der Gleichgewichtslage von der Dauer der ursprünglichen Gestaltsänderung ab?
- III. Sind die Curven, welche den Verlauf der elastischen Längs-Nachwirkung während der Belastung und nach der Entlastung darstellen, congruent?
- IV. Welche Grössen-Beziehungen bestehen zwischen der durch Torsion und der durch Dehnung erzeugten Nachwirkung?

¹⁾ Miller, Sitz. Berichte der k. bayr. Akademie 1878.

Apparat.

Derjenige Theil der folgenden Untersuchungen, welcher sich auf die Längs-Nachwirkung bezieht, wurde in dem Thurm des physikalischen Instituts ausgeführt, welcher Drähte von 23 m Länge zu benutzen gestattet und ausserdem durch seine nördliche Lage und seine starken massiven Wände die Erhaltung einer hinreichend constanten Temperatur ermöglicht.

Der Thurm enthält 4 isolirte feste Pfeiler, welche nahe unter seiner Spitze endigen. Die Drähte, welche zu den Untersuchungen benutzt wurden, waren mittelst eiserner Klammern an einem 25 cm dicken Balken, der auf zwei diagonal gegenüber stehenden Pfeilern ruhte und so eine solide Stütze gewährte, befestigt. Um sicher gegen zufällige Verschiebungen des Aufhängepunktes der Drähte zu sein, wurde mit Hülfe eines Mikroskopes, welches an einem zweiten Balken angebracht war, von Zeit zu Zeit eine an den einzelnen Drähten, in der Nähe des Aufhängepunktes befindliche Marke beobachtet.

Zur Elimination der Temperaturstörungen wurden zwei Drähte desselben Materials benutzt. Der eine trug ein constantes kleines Gewicht und zugleich die Marke, welche als Nullpunkt bei den Beobachtungen diente; derjenige, an welchem die eigentlichen Untersuchungen über die elastische Nachwirkung angestellt wurden, hing 2 mm neben dem „Thermometerdraht“ und lief durch das hohle Gewicht, welches diesen gespannt hielt. Am unteren Ende des zweiten Drahtes war die Schale befestigt, welche zur Aufnahme der Gewichte diente, und unter dieser stand ein gewöhnlicher grosser Wasserdämpfer. Um ferner Torsions-Schwingungen zu verhindern, war jeder Draht mit einem leichten Arme versehen, welcher ohne Zwang zwischen zwei an eisernen Stiften befestigten Stäben spielte.

Die Ablesungen wurden mit Hülfe eines Mikroskopes ausgeführt, das mit einem Okular-Mikrometer versehen war und Ablesungen bis zu 0,001 mm gestattete. Als Ablesungsmarken dienten Glasfäden, welche mit Siegelack an den Drähten befestigt waren.

Die von Herrn Thompson¹⁾ bei seiner Untersuchung über das Gesetz der elastischen Dehnung hergestellten Vorrichtungen konnten hierbei mehrfach benutzt werden.

Es war auch der Versuch gemacht worden, die Bestimmungen mit Hülfe von Spiegel und Scala zu bewerkstelligen; zu diesem Zwecke wurde ein leichter Draht-Rahmen, der den Spiegel trug, mit drei Nadelspitzen versehen, von denen zwei in konischen Vertiefungen eines an dem Thermometerdraht befestigten Messingstückes ruhten, während die dritte in ähnlicher Weise einen Stützpunkt an dem Versuchsdrahte fand. Wenn der zweite Draht gespannt war, musste der Rahmen an einem dritten Ruhepunkte durch einen Draht gestützt werden, welcher so angebracht war, dass er den Rahmen auffing, wenn der zweite Draht sich ausdehnte. Diese Einrichtung funktionierte sehr gut, so lange die dritte Metallspitze nicht aus ihrer Vertiefung entfernt wurde. Die Schwierigkeit bestand darin, dass, wenn der gespannte Draht von der Belastung befreit wurde und wieder als Stütze für den Rahmen mit Spiegel diente, der Nullpunkt auf der Scala gewöhnlich drei oder vier mm von seiner ursprünglichen Stellung entfernt war; diese Unsicherheit des Nullpunktes machte die Anwendung dieser Methode unmöglich.

Um eine seitliche Bewegung zu verhindern, bewegten sich die Drähte ohne merkliche Reibung etwas unterhalb der Marken in einem von zwei dünnen, aber hinreichend steifen Glasfäden gebildeten Winkel; die Glasfäden waren an einem Rahmen befestigt, der von dem schon oben erwähnten Stifte getragen wurde.

Die Durchschnittstemperatur des Thurmes wurde aus der mit Hülfe eines zweiten Mikroskopes beobachteten Ausdehnung bzw. Zusammenziehung des Thermometerdrahtes berechnet.

Die Untersuchungen über die Torsions-Nachwirkung wurden in einem andern Raume des Instituts ausgeführt; der Versuchsdraht hing in einem Gehäuse an einem mit einer Teilung versehenen Torsionskopfe und trug an seinem unteren Ende einen Spiegel und ein kleines Spannungsgewicht, welches mit einem Wasser-Dämpfer verbunden war. Um zu grosse Schwingungs-

¹⁾ J. O. Thompson Wied. Ann. Bd. 44, S. 555.

Amplituden zu verhindern und das untere Ende des Drahtes bei der Anwendung der Torsion an seiner Stelle zu erhalten, ging von dem den Draht spannenden Gewichte ein seitlicher Arm aus, welcher zwischen zwei aufrechten Drähten spielte. Die Beobachtungen wurden in der gewöhnlichen Weise mit Spiegel und Scala ausgeführt.

Anordnung der Messungen.

Die Längs-Nachwirkung.

Die beiden Drähte wurden in der oben näher angegebenen Weise befestigt und dann 24 Stunden hindurch mit einem Gewichte belastet, welches doppelt so schwer war, als irgend eines der bei den folgenden Versuchen zu benutzenden Gewichte; hierauf wurden die Drähte von ihrer Belastung befreit und nach Verlauf von 3 bis 8 Tagen die Beobachtungen begonnen. Der ersten Beobachtung einer jeden Reihe, welche immer $\frac{1}{2}$ Minute nach Entfernung des Gewichtes gemacht wurde, kann kein allzu grosses Gewicht beigelegt werden, da der Draht dann noch nicht vollständig zur Ruhe gekommen war; diese Zahlen sind deshalb bei der Berechnung der Constanten nicht benutzt worden.

Die Torsions-Nachwirkung.

Die Drähte, welche zur Beobachtung der Torsions-Nachwirkung dienten, wurden an dem Kopfe befestigt, einer bedeutenden Torsion unterworfen und dann nach Ruhepausen von mehreren Tagen, in einigen Fällen von mehreren Wochen, zur Untersuchung benutzt. Die nach Verlauf einer halben Minute gemachten Beobachtungen sind auch hier nicht hinreichend genau, da der Spiegel dann noch immer in Bewegung war und eine sichere Ablesung unausführbar machte.

Nachdem eine Reihe von Messungen ausgeführt war, wurde derselbe Draht nicht eher wieder zur Beobachtung benutzt, bis die alte Nachwirkung vollständig verschwunden war, oder bis der Draht in der Zeit, welche zur Ausführung einer Reihe von Versuchen erforderlich war, keine merkliche Bewegung mehr zeigte.

Die Bedeutung der angewandten Zeichen ist hier und in der ganzen Arbeit folgende:

- τ bezeichnet die Temperatur,
 W „ das Belastungs-Gewicht,
 L „ die demselben entsprechende Verlängerung,
 φ „ den Torsionswinkel,
 T „ die Dauer der Deformation,
 t „ die nach der Aufhebung der Deformation bez.
nach Eintritt derselben verflossene Zeit,
 x „ die Nachwirkung,
 x_1 ist die für $t=1$ beobachtete Nachwirkung,
 c ist die für $t=1$ berechnete Nachwirkung.
 Δ ist gleich x beob. — x berechn.
 λ ist $\frac{x_1}{L}$ bei der Verlängerung.
 λ' ist $\frac{x_1^1)}{\varphi}$ bei der Torsion

**Längs-Nachwirkung eines 23 m langen, 0,30 mm
dicken Messigndrahtes.**

Zugfestigkeit.	4,7 kg
Constantes Spannungsgewicht	0,65 kg
Verlängerung für 1 kg	36,00 mm

Tabelle I giebt in einer Reihe von Beobachtungen die elastische Längs-Nachwirkung, welche nach verschieden starken Belastungen in gleichen Zeiträumen und nach gleicher Belastung in verschiedenen Zeiträumen erhalten wurde.

Als Einheit für die Längs-Nachwirkung wird 0,01 mm genommen.

Die ersten drei Reihen stellen die elastische Nachwirkung dar, welche auf eine drei Minuten währende Belastung von 0,5 kg, 0,7 kg und 1,0 kg erfolgt.

¹⁾ x_1 und L bez. x_1 und φ je in gleichem Mass gemessen.

TABELLE I.

W = 0,5 kg.
L = 1800.
 $\tau = 20^{\circ},7$

T = 3 Min.
W = 0,7 kg.
L = 2520.
 $\tau = 19^{\circ},3$

W = 1 kg.
L = 3600.
 $\tau = 19^{\circ},7$

t Min.	x		Δ	x		Δ	x		Δ
	beob.	ber.		beob.	ber.		beob.	ber.	
0,5	2,0	2,16	—,16	3,2	3,43	—,23	4,6	4,85	—,25
1	1,6	1,55	+ 05	2,4	2,46	—,06	3,2	3,48	—,28
2	1,2	1,11	+ 09	1,8	1,76	+ 04	2,6	2,50	+ ,10
3	1,0	0,91	+ ,09	1,5	1,45	+ ,05	2,2	2,05	+ ,15
5	0,7	0,72	—,02	1,2	1,14	+ ,06	1,8	1,61	+ ,19
7	0,5	0,61	—,11	1,0	0,97	+ ,03	1,4	1,37	+ ,03
10	0,3	0,51	—,21	0,8	0,81	—,01	1,2	1,15	+ ,05
15				0,6	0,67	—,07	0,9	0,95	—,05
20				0,5	0,58	—,08	0,8	0,83	—,03

c = 1,55

c = 2,46

c = 3,48

$\alpha = 0,48$

$x = \frac{c}{t^{\alpha}}$

W = 1 kg. L = 3600

T = 27 Min.
 $\tau = 20^{\circ},0$

T = 81 Min.
 $\tau = 19^{\circ},7$

t Min.	x		Δ	x		Δ
	beob.	ber.		beob.	ber.	
1	10,2	10,13	+ ,07	16,0	15,89	+ ,11
2	8,8	8,78	+ ,02	13,8	14,06	—,26
3	7,8	7,96	—,16	12,8	12,92	—,12
5	6,8	6,91	—,11	11,4	11,44	—,04
7	6,1	6,21	—,11	10,6	10,44	+ ,16
10	5,4	5,48	—,08	9,2	9,38	—,18
15	4,6	4,67	—,07	8,2	8,18	+ ,02
20	4,0	4,12	—,12	7,4	7,34	+ ,06
30	3,4	3,39	+ ,01	6,4	6,21	+ ,19
40	3,2	2,90	+ ,30			
50	2,8	2,55	+ ,25	5,0	4,87	+ ,13
70	2,0	2,06	—,06			
80				3,8	3,75	+ ,05
110				3,2	3,08	+ ,12

C = 18,80

C = 27,00

a = 0,618

a = 0,530

m = 0,30 $x = Ce - at^m$

Da die sämtlichen von Kohlrausch beobachteten Nachwirkungen nach einer kurz dauernden Deformation sich aus der Formel 2 (S. 2) berechnen liessen, und zwar die meisten mit nahe demselben Exponenten α , so war der Versuch anzustellen, ob die Längs-Nachwirkung dieselbe Beziehung zeigte. Man sieht, dass dies hinreichend genähert der Fall ist. Dass die Nachwirkung nach den grösseren Deformationen ein wenig langsamer als nach den geringeren verschwindet, stimmt mit den Beobachtungen Kohlrausch's über die Torsion von Metalldrähten.

Ebenso ist mit jenen Beobachtungen in Uebereinstimmung, dass die Nachwirkung nach länger dauernden Deformationen sich der Specialformel 2 nicht fügt, sondern die allgemeine Formel verlangt.

Kohlrausch fand ferner, dass bei einer bestimmten Temperatur der Wert von x_1 nahezu dem Drehungswinkel φ bei der Torsions-Nachwirkung oder dem Belastungsgewicht W bei der Längs-Nachwirkung und ausserdem einer Potenz der Zeitdauer T proportional ist, oder:

$$x_1 = K W T^\beta.$$

Um diese Beziehung für die Längs-Nachwirkung zu prüfen, habe ich die Beobachtungen der Tab. I und einige andere benutzt, welche nicht ausführlich wiedergegeben sind.

Alle Beobachtungen sind auf die Temperatur $20^0,0$ reducirt (vergl. S. 15)

Setzt man $K = 2,13$, $\beta = 0,46$, so
erhält man also: $x_1 = 2,13 \cdot W \cdot T^{0,46}$

TABELLE II.

W	T	x_1 beob.	x_1 ber.	Δ
1 kg.	1 min	2,14	2,13	+ 0,01
»	3	3,23	3,53	— 0,30
»	9	5,80	5,85	— 0,05
»	27	10,20	9,70	+ 0,50
»	81	16,12	16,08	+ 0,04
0,7	3	2,44	2,47	— 0,03
0,5	3	1,58	1,76	— 0,18

Die Verlängerung des Drahtes für ein Gewicht von 1 kg beträgt 36 mm.

Ersetzt man die Belastung W durch die Verlängerung L so bekommt man also mit Rücksicht darauf, dass x_1 in 0,01 mm ausgedrückt ist, für 20,0 und $T = 1$ Min.

$$\frac{x_1}{L} = 0,00059 = \lambda.$$

Torsions-Nachwirkung eines 35 cm langen, 0,3 mm dicken Messingdrahtes.

Von diesen Beobachtungen, welche durchweg den schon bekannten Beziehungen folgten, teile ich nur eine kleine Zahl mit.

Tabelle III zeigt in den Resultaten dreier Beobachtungsreihen den Verlauf der Nachwirkung für verschieden starke Torsion, φ bedeutet hier den Drehungswinkel, die anderen Zeichen haben dieselbe Bedeutung wie in Tabelle I.

TABELLE III.

Messing-Torsion.

$T = 2$ Min.

$\varphi = 30^\circ$; $\tau = 23^\circ,3$. $\varphi = 60^\circ$; $\tau = 23^\circ,2$. $\varphi = 90^\circ$; $\tau = 23^\circ,6$.

t	x		Δ	x		Δ	x		Δ
	beob.	ber.		beob.	ber.		beob.	ber.	
0,5	4,0	4,50	—,50	8,0	8,56	—,56	12,8	13,23	—,43
1	2,9	2,99	—,09	5,5	5,69	—,19	8,5	8,79	—,29
2	2,1	1,99	+,11	4,0	3,78	+,22	6,0	5,84	+,16
3	1,8	1,56	+,24	3,1	2,98	+,12	4,8	4,60	+,20
5	1,0	1,16	—,16	2,4	2,20	+,20	3,6	3,40	+,20
7	0,9	0,95	—,05	2,0	1,81	+,19	2,9	2,79	+,11
10	0,8	0,77	+,03	1,3	1,46	—,16	2,1	2,26	—,16
15				1,1	1,15	—,05	1,8	1,78	+,02
20				0,9	0,97	—,07	1,5	1,50	$\pm,00$
	c = 2,99			c = 5,69			c = 8,79		

$$\alpha = 0,59 \quad x = \frac{c}{t^\alpha}$$

Die Ähnlichkeit der Curven tritt hier klar hervor, und die Übereinstimmung zwischen den berechneten und beobachteten Werten ist mit Ausnahme derjenigen für $t = 0,5$ Minuten sehr gut. x ist hier in Scalenteilen, welche einzeln gleich $0,018^\circ$ sind, gegeben.

Der Wert von x_1 für $T = 1$ und $\tau = 20^\circ$ ist durch den Drehungswinkel ausgedrückt:

$$\frac{0,018 \cdot x_1}{\varphi} = 0,0011 = \lambda'.$$

Vergleicht man dieses Resultat mit dem entsprechenden für die Dehnung erhaltenen, so ergibt sich:

$$\lambda' = 1,9 \lambda.$$

Der Einfluss der Temperatur.

Die Temperatur spielt eine sehr wichtige Rolle bei der elastischen Nachwirkung und ich muss bedauern, dass es mir nicht möglich war, eine vollständige Reihe von Beobachtungen über ihren Einfluss auf die Längs-Nachwirkung auszuführen. Da der Thurm nämlich nicht erwärmt werden kann und der Übergang von Sommer- zu Winter-Temperatur während meiner Abwesenheit von Strassburg erfolgte, so konnte nur bei zwei verschiedenen Temperaturen beobachtet werden. Glücklicherweise jedoch scheinen die Beobachtungen sehr gut mit den Versuchen über Torsion übereinzustimmen.

Tabelle IV giebt die Werte von x_1 für $\varphi = 120^\circ$ und $T = 1$ min bei vier, und ebenso diejenigen von c für $W = 1$ kg und $T = 3$ min bei zwei verschiedenen Temperaturen.

TABELLE IV.

Torsion.		Dehnung.	
τ	x_1	τ	x_1
23°	7,8	20°	3,3
19°	7,1		
16°	6,7		
11°	5,8	10°	2,4

Die Beobachtungen bestimmen den Wert des Temperatur-Coefficienten γ , welcher den Zuwachs der Nachwirkung in Theilen derjenigen bei 10^0 für einen Temperaturzuwachs von 1^0 angiebt, für die Torsion nahe zu:

$$\gamma = 0,029$$

Der Wert für die Längs-Nachwirkung wird $\gamma = 0,037$ gefunden. Die Beobachtungen sind nicht genau genug, um zu entscheiden, ob der Unterschied wirklich vorhanden ist.

Der Einfluss von Temperaturänderungen auf den Wert von α ist, wenn überhaupt vorhanden, äusserst gering; aus einigen meiner Resultate schliesse ich indessen, dass α mit wachsender Temperatur ein wenig abnimmt.

Nachwirkung am Messing nach länger anhaltender Belastung.

Die genaue Beobachtung der Nachwirkung nach dauernder Dehnung ist höchst schwierig, da selbst eine kleine Belastung, lang genug angewandt hinreichend zu sein scheint, um eine dauernde Veränderung in einem Drahte zu erzeugen.

Aus diesem Grunde konnten keine absolut sicheren Schlüsse hinsichtlich des gegenseitigen Verhaltens der Curven während der Belastung und nach der Entlastung gezogen werden.

Die von Professor Kohlrausch¹⁾ an Gummifäden angestellten Untersuchungen zeigten, dass für kleine Gestaltsänderungen die beiden Curven mehr und mehr congruent werden, sodass sie für eine sehr kleine Änderung wahrscheinlich zusammenfallen würden.

In Fig. I sind drei Paare von Curven wiedergegeben: die ausgezogenen Linien stellen den Verlauf der Nachwirkung während der Belastung, die punktierten Linien den Verlauf nach der Entlastung dar.

Die den Curven (1) und (2) zu Grunde liegenden Beobachtungen wurden bei einer Temperatur von 20^0 gemacht, während die zu (3) gehörigen Messungen bei 10^0 ausgeführt wurden.

¹⁾ F. Kohlrausch Pogg. Ann. Bd CLVIII S. 337.

In Nr. 3 finden sich zwischen Belastungs- und Entlastungscurven nur kleine Unterschiede.

Die grossen Unterschiede in Nr. 1 können meiner Ansicht nach auf dauernde Gestaltungsänderung durch die Belastung zurückkommen.

Längs-Nachwirkung eines 23 m langen, 0,29 mm dicken Kupferdrahtes.

Zugfestigkeit 2,3 kg.
 Constantes Spannungsgewicht 0,44 kg.
 Verlängerung für 1 kg, 28,00 mm

Während Kupfer einerseits für eine bestimmte Gestaltsänderung eine grössere Nachwirkung zu erkennen gibt, als die anderen untersuchten Metalle, lässt es andererseits infolge seiner niedrigen Elasticitätsgrenze nur die Anwendung von Gewichten zu, welche verhältnissmässig kleiner sind, als die bei Messing benutzten, und aus diesem Grunde sind auch die gemessenen Grössen im allgemeinen geringer.

TABELLE V.

Kupfer-Dehnung.

T = 0,5 Min.

W = 0,25 kg.

W = 0,5 kg.

W = 0,6 kg.

L = 700; $\tau = 18^{\circ},0$. L = 1400; $\tau = 20^{\circ},3$. L = 1680; $\tau = 18^{\circ},6$.

t	x			x			x		
	beob.	ber.	Δ	beob.	ber.	Δ	beob.	ber.	Δ
0,5	1,2	0,90	+ ,30	2,8	2,53	+ ,27	4,0	3,47	+ ,53
1	0,8	0,71	+ ,09	2,0	2,00	\pm ,00	2,6	2,74	- ,14
2	0,6	0,56	+ ,04	1,6	1,58	+ ,02	2,2	2,16	+ ,04
3	0,5	0,49	+ ,01	1,4	1,38	+ ,02	2,0	1,88	+ ,12
5	0,3	0,41	- ,11	1,2	1,16	+ ,04	1,6	1,58	+ ,02
7				1,0	1,03	- ,03	1,4	1,41	- ,01
10	0,2	0,33	- ,13	0,9	0,92	- ,02	1,3	1,25	+ ,05
15				0,8	0,80	\pm ,00	1,1	1,09	+ ,01
20				0,7	0,74	- ,04	1,0	1,01	- ,01
c = 0,713				c = 2,002			c = 2,737		

$\alpha = 0,34$

$x = \frac{c}{t^{\alpha}}$

$$W = 0,5 \text{ kg. } L = 1400$$

$$T = 3 \text{ min; } \tau = 10^{0,0} \quad T = 20 \text{ min; } \tau = 10^{0,1}$$

t	x		Δ	x		Δ
	beob.	ber.		beob.	ber.	
1	3,6	3,67	—,07	7,7	7,67	+,03
2	3,2	3,10	+,10	6,7	6,61	+,09
3	2,8	2,76	+,04	6,0	5,99	+,01
5	2,3	2,33	—,03	5,3	5,21	+,09
7	2,0	2,05	—,05	4,6	4,69	—,09
10	1,8	1,75	+,05	4,0	4,15	—,15
15	1,4	1,42	—,02	3,5	3,53	—,03
20	1,1	1,18	—,08	3,0	3,09	—,09
30	0,9	0,84	+,06	2,5	2,47	+,03
50				1,7	1,69	+,01
70				1,3	1,17	+,13

$$c = 3,67$$

$$c = 7,67$$

$$p = 0,001370$$

$$p = 0,002515$$

$$x = c - p L \log t.$$

Tabelle V gibt die Nachwirkung für eine 0,5 Minuten wirkende Belastung von 0,25 kg., 0,5 kg. und 0,6 kg., sowie auch für eine 3 resp. 20 Minuten dauernde Belastung von 0,5 kg. Die drei ersten Reihen sind nach Formel 2 berechnet und lassen hinsichtlich der Uebereinstimmung zwischen beobachteten und berechneten Werten nichts zu wünschen übrig; α ist hier etwas kleiner als bei Messing.

Die elastische Nachwirkung wächst hier verhältnissmässig etwas schneller als das Gewicht W ; sie lässt sich für $T = 0,5$ min. und $\tau = 20^{0,0}$ darstellen durch:

$$x_1 = 2,62 W + 2,97 W^2$$

$$= 0,00094 L + 0,00000038 L^2.$$

Wir erhalten dann

TABELLE VI a.

W	x beob.	x_1 ber.	Δ
0,25	0,84	0,84	$\pm 0,00$
0,50	1,99	2,05	— 0,06
0,60	2,68	2,64	+ 0,04

Die Abhängigkeit von der Dauer T stellen wir für die Belastung 0,5 Kg. und die Temperatur 20,0° dar durch

$$x_1 = 2,71 \cdot T^{0,44}$$

und bekommen

TABELLE VI b.

T	x_1	x_1	Δ
	beob.	ber.	
0,5	1,99	2,00	—,01
1	2,70	2,71	—,01
3	4,68	4,39	+ ,29
20	10,01	10,11	—,10

Zusammenfassend können wir also für 20° schreiben:

$$x_1 = (0,00127 L + 0,0000005 \cdot L^2) \cdot T^{0,44}$$

Die beiden letzten Reihen der Tabelle V habe ich nach der von Boltzmann angegebenen Formel

$$x = p L \log \frac{t + T}{t}$$

zu berechnen versucht, jedoch gefunden, dass die Formel keine befriedigenden Resultate liefert.

Dagegen gibt die Formel

$$x = c - p L \log. t$$

Werte, welche mit der Beobachtung gut übereinstimmen.

Diese Formel ist praktisch gleich derjenigen, von welcher Professor Kohlrausch¹ in anderer Weise ausging, als er der Formel für $T = \infty$ einen Sinn zu geben suchte.

¹ Kohlrausch. Pogg. Ann. 1877 Bd. 160 pag. 225.

Torsions-Nachwirkung am Kupferdraht.

TABELLE VII.

Kupfer-Torsion.

T = 1 Min.

$\varphi = 20^\circ; \tau = 20^\circ, 2$ $\varphi = 30^\circ; \tau = 19^\circ, 9$ $\varphi = 40^\circ; \tau = 18^\circ, 6$

t	x			x			x		
	beob.	ber.	Δ	beob.	ber.	Δ	beob.	ber.	Δ
0,5	11,5	11,19	+31	18,0	17,57	+43	25,5	24,79	+71
1	7,9	7,86	+04	12,5	12,34	+16	17,6	17,41	+19
2	5,4	5,52	-12	8,8	8,66	+14	12,5	12,23	+27
3	4,4	4,49	-09	6,9	7,04	-14	9,8	9,94	-14
5	3,4	3,46	-06	5,1	5,43	-33	7,4	7,66	-26
7	2,9	2,91	-01	4,4	4,57	-17	6,2	6,45	-25
10	2,5	2,43	+07	3,8	3,81	-01	5,2	5,38	-18
15	2,1	1,98	+12	3,2	3,10	+10	4,3	4,37	-07
20	1,9	1,71	+19	2,8	2,68	+12	3,5	3,78	-28
c = 7,86				c = 12,34			c = 17,41		
				$\alpha = 0,51$					
				$x = \frac{c}{t \alpha}$					

Die Tabelle VII zeigt einerseits dass die Curven der Torsions-Nachwirkung für Kupfer nach verschiedenen Drehungswinkeln nahezu ähnlich sind. Doch scheint für grössere Torsionen die Rückkehr zur Ruhelage ein wenig schneller vor sich zu gehen als für kleinere.

Der Wert von α ist grösser als bei der Dehnung, aber nicht so gross wie bei Messing; x_1 wächst etwas schneller als der Drehungs-Winkel und sein Wert für T = 1 min. und $\tau = 20^\circ, 0$ ist als eine quadratische Funktion von φ gegeben:

$$x_1 = 0,324 \varphi + 0,0033 \varphi^2,$$

oder, da jeder Scalenteil gleich $0,014^\circ$ ist, in Bogengraden

$$x_1 = 0,00454 \varphi + 0,000046 \varphi^2$$

Es ist also für kleine Torsionswinkel von der Dauer 1 min. bei 20^0

$$\lambda' = 0,014 \frac{x_1}{\varphi} = 0,0045.$$

Für die Längsnachwirkung ergab sich $\lambda = 0,00127$, mithin

$$\lambda' = 3,6 \lambda.$$

Einfluss der Temperatur auf Kupfer.

In der folgenden Tabelle VIII sind für verschiedene Temperaturen die Nachwirkungen zusammengestellt, wie sie sich bei der Torsion für $\varphi = 20^0$ und $T = 1$ Minute, und bei der Dehnung für $W = 0,5$ kg und $T = 0,5$ Minuten ergeben haben:

TABELLE VIII.

τ	x_1 Torsion.	x_1 Dehnung.
20^0	7,8	2,0
15^0	6,8	—
12^0	6,2	—
10^0	—	1,6

Für γ findet man bei der Torsion $\gamma = 0,034$, also nahe denselben Wert, wie für den Temperatur-Coefficienten von Messing.

Für die Dehnung ergab sich 0,025.

Nachwirkung in einem Kupferdrahte nach länger dauernder Belastung.

Kupfer zeigt in bedeutend stärkerem Maasse als Messing die Eigenschaft, bei anhaltender Belastung eine dauernde Veränderung zu erleiden; die Untersuchung war dementsprechend noch schwieriger; aber die Schlüsse, die wir aus den Beobachtungen ziehen können, sind befriedigender, als es bei Messing der Fall war.

Fig. (II) zeigt zwei Paare von Curven; die ausgezogenen Linien stellen, wie früher, die Nachwirkungs-Curve während der Belastung, die punktierten Linien ebenso den Verlauf der Nachwirkung nach der Entlastung dar.

Nr. 1 ($W = 0,3$ kg, $T = 5500$ Minuten, Durchschnittstemperatur $\tau = 10,0^{\circ}$) zeigt eine dauernde Veränderung, welche nahezu ein Viertel der ganzen Curvenhöhe beträgt, und es ist somit offenbar zwecklos, einen Vergleich zwischen den beiden Teilen anzustellen.

Nr. 2 ($W = 0,15$ kg; $T = 2800$ Minuten, Durchschnittstemperatur $\tau = 11^{\circ}$) lässt eine dauernde Veränderung von einem Sechszehntel der ganzen Curvenhöhe erkennen; dass dies wirklich als eine dauernde Veränderung und nicht etwa als eine Folge, der langsameren Rückkehr der punktierten Linie anzusehen ist, kann ich mit Bestimmtheit behaupten, weil ich den Draht länger als eine Woche nach der zuletzt eingetragenen Messung beobachtet und gefunden habe, dass die Stellung der Marke während dieser Zeit sich nicht um $0,001$ mm änderte. Dasselbe gilt von der Curve Nr. 1, obgleich ich in diesem Falle den Draht nur 3 Tage beobachtet habe. Ich halte es daher für wahrscheinlich, dass die Curven, falls keine Veränderung stattgefunden hätte, coincidieren würden; mag dies aber der Fall sein oder nicht, soviel ist jedenfalls sicher, dass, die durch länger dauernde Belastung hervorgerufene Nachwirkung zu ihrem Verschwinden ungefähr ebensoviel Zeit braucht, als vorher zu ihrer Erzeugung erforderlich war.

**Längs-Nachwirkung an einem 23 m langen und
0,32 mm dicken Silberdraht.**

Zugfestigkeit	3,8 kg
Constantes Spannungsgewicht.	0,65 kg
Verlängerung für 1 kg	38,00 mm

Silber-Dehnung:

$$W = 0,6 \text{ kg.}$$

$W = 0.1 \text{ kg.}$	$W = 0.6 \text{ kg.}$	$W = 1 \text{ kg.}$	$L = 2280$
$\tau = 1520$	$\tau = 100.0$	$\tau = 90.0$	$\tau = 90.9$
$L = 1520$	$L = 2280$	$L = 3800$	$L = 3800$
			$T = 10 \text{ Min; } \tau = 90.0$
			$T = 30 \text{ Min; } \tau = 70.8$

[illegible]

$$x = \frac{c}{1z}$$

$$x = c - pL \log t.$$

Die Tabelle IX enthält die Resultate von sechs Beobachtungen, von denen die ersten vier nach Formel II mit gemeinschaftlichem Exponent α berechnet sind. Letzterer ist hier kleiner als der entsprechende Wert bei Messing und Kupfer.

Abgesehen von den ziemlich unsicheren Beobachtungen für $t = 0,5$ Minuten in den ersten drei ist die Übereinstimmung zwischen den beobachteten und berechneten Werten gut, da Δ immer kleiner als $0,001$ mm bleibt. Die vierte Reihe ($W = 1$ kg) zeigt keine so grosse Übereinstimmung und die Vermutung liegt nahe, dass vielleicht in diesem Falle die Belastungen der Elasticitätsgrenze etwas zu nahe gekommen waren, wodurch die Nachwirkung unregelmässig zu werden scheint.

Es scheint freilich andererseits auch, als ob die Nachwirkung nach grösseren Dehnungen etwas rascher ablaufe. Ein grösseres α würde die Reihe Nr. 3 und noch mehr Nr. 4 verbessern.

TABELLE X.

T	x_1 beob.	x_1 ber.	Δ
0,5	1,56	1,71	-0,15
1	2,23	2,23	$\pm 0,00$
3	3,72	3,30	+0,33
10	4,52	5,35	-0,83
30	8,56	8,12	+0,44

Die obige Tabelle gibt für verschiedene Werte von T und für $W = 0,6$ kg und $\tau = 20^\circ$ die entsprechenden Werte von x_1 .

Die Rechnung geschieht nach:

$$x_1 = 2,23 \cdot T^{0,38}.$$

x_1 ändert sich ungefähr proportional mit W und als allgemeinen Ausdruck bei $\tau = 20^\circ$ können wir schreiben:

$$x_1 = 3,74 \cdot W \cdot T^{0,38},$$

oder durch die Verlängerung ausgedrückt:

$$x_1 = 0,00098 L \cdot T^{0,38} \text{ also } \lambda = 0,00098.$$

Diejenigen Reihen, welche die Nachwirkung für grössere Werte von T angeben, sind nach der Formel:

$$x = c - p L \log t$$

berechnet und zeigen sehr gute Uebereinstimmung mit der Beobachtung.

Dass auch die Reihen Nr. 1 bis 3 sich hiernach gut darstellen lassen, zeigt Tabelle XI.

TABELLE XI.

Silber-Dehnung.

T = 1 Min.

W = 0,4 kg. $\tau = 10^{\circ},0$ L = 1520
W = 0,6 kg. $\tau = 9^{\circ},8$ L = 2280
W = 0,8 kg. $\tau = 9^{\circ},0$ L = 3040

t	x			x			x		
	beob.	ber.	Δ	beob.	ber.	Δ	beob.	ber.	Δ
1	1,1	1,07	+0,03	1,7	1,68	+0,02	2,0	1,97	+0,03
2	0,9	0,92	-0,02	1,4	1,45	-0,05	1,7	1,67	+0,03
3	0,8	0,83	-0,03	1,3	1,32	-0,02	1,5	1,49	+0,01
5	0,7	0,72	-0,02	1,2	1,16	+0,04	1,2	1,27	-0,07
7				1,1	1,05	+0,05	1,1	1,12	-0,02
10	0,6	0,57	+0,03	0,9	0,93	-0,03	1,0	0,97	+0,03

c = 1,07

c = 1,68

c = 1,97

p = 0,000329

x = c - p L log t.

TABELLE XII.

Silber-Torsion.

T = 1 Min.

$\varphi = 60^{\circ}$; $\tau = 18^{\circ},2$ $\varphi = 90^{\circ}$; $\tau = 17^{\circ},2$ $\varphi = 150^{\circ}$; $\tau = 20^{\circ},0$

t	x			x			x		
	beob.	ber.	Δ	beob.	ber.	Δ	beob.	ber.	Δ
0,5	9,5	10,28	-0,78	14,5	14,79	-0,29	28,0	28,05	-0,05
1	7,2	7,32	-0,12	10,2	10,53	-0,33	19,8	19,97	-0,17
2	5,4	5,21	+0,19	7,8	7,50	+0,30	14,3	14,22	+0,08
3	4,4	4,28	+0,12	6,1	6,16	-0,06	11,1	11,67	-0,57
5	3,3	3,33	-0,03	4,9	4,79	+0,11	9,4	9,08	+0,32
7	2,7	2,82	-0,12	4,2	4,06	+0,14	8,0	7,70	+0,30
10	2,3	2,37	-0,07	3,6	3,41	+0,19	6,8	6,46	+0,34
15							5,4	5,30	+0,10
20							4,0	4,60	-0,60
40							3,6	3,28	+0,32

c = 7,32

c = 10,53

c = 19,97

$\alpha = 0,49$

$x = \frac{c}{1 + \alpha}$

Torsions-Nachwirkung des Silbers.

Die Resultate, welche drei Beobachtungsreihen bezüglich der Torsions-Nachwirkung in dem Silberdrahte für $T = 1$ Minute ergeben, sind in Tabelle XII (vorige S.) enthalten. Die theoretischen Werte wurden mit $\alpha = 0,49$ für alle Reihen nach Formel 2 berechnet. x_1 ist sehr nahe proportional zu φ und für $\tau = 20^\circ$ ergibt sich in Scalenteilen:

$$x_1 = 0,129 \varphi,$$

oder durch Multiplikation mit 0,014 (dem Werte eines Scalenteiles in Bogengraden):

$$0,014 \frac{x_1}{\varphi} = \lambda' = 0,0018; \text{ hieraus folgt für } \tau = 20^\circ$$

$$\lambda' = 1,84 \lambda.$$

Professor Kohlrausch¹⁾ fand bei seinen Untersuchungen über die Torsions-Nachwirkung bei Silber an einem Drahte, welcher 125 mm lang war und einen Durchmesser von 0,092 mm hatte, für eine Torsion von 1 Minute bei 20° Temp, $\alpha = 0,39$ und $\lambda' = 0,00102$, wir dagegen 0,49 und 0,0018.

Dieser Unterschied liess mich vermuten, dass vielleicht der Durchmesser des Drahtes die Nachwirkung beeinflussen könnte.

Ich liess daher ein Stück des zu den obigen Untersuchungen benutzten Drahtes bis fast auf die Hälfte des früheren Durchmessers ausziehen, konnte indess nicht finden, dass diese Reduktion des Durchmessers die Nachwirkung selbst oder den Gang ihres Verschwindens irgendwie ändert.

Es ist daher eher wahrscheinlich, dass der Umstand, dass mein Draht reines Silber, der von Kohlrausch gebrauchte aber ein wenig legiert war, die erwähnte Verschiedenheit bedingt hat.

Einfluss der Temperatur.

Der Einfluss der Temperatur auf die Nachwirkung bei Silber scheint derselbe zu sein, wie bei Messing.

Für die Längs-Nachwirkung habe ich indessen in dieser Hinsicht keine Untersuchungen anstellen können, da der betreffende

¹⁾ Kohlrausch, Pogg. Ann. 1876. CLVIII S. 342.

Draht vor Eintritt der Wintertemperatur nicht benutzt werden konnte.

Für die Torsion sind in Tabelle XIII aus vier bei verschiedenen Temperaturen gemachten Beobachtungen die Nachwirkungen zur Zeit 1 Minute zusammengestellt.

TABELLE XIII.

τ	x_1 (Torsion)
20°	15,8.
16°	14,4
12°	12,3
8°	11,1

$\varphi = 120^\circ \quad T = 1 \text{ Min.}$

Hieraus folgt als Wert für den Temperaturcoefficienten ein ähnlicher Wert wie früher, nämlich:

$$\gamma = 0,036.$$

Längs-Nachwirkung bei länger dauernder Belastung.

Fig. III zeigt zwei Curven, welche den Verlauf der Nachwirkung während der Belastung und nach der Entlastung für $T = 2880$ Minuten und $W = 0,4 \text{ kg.}$ bzw. $W = 0,2 \text{ kg.}$ wiedergeben. Die Resultate sind hier etwas besser als bei Messing und Kupfer, obgleich sie noch lange nicht befriedigend genannt werden können. Wie die anderen Drähte, so scheint auch der Silberdraht nach länger dauernder Spannung etwa eben so lange unter dem Einfluss der Nachwirkung zu stehen, als die Zeit der Spannung währte.

Um eine genauere Vergleichung, als es Fig. III gestattet, zu ermöglichen, sind in Tabelle XIV die beobachteten Werte von x aufgeführt und zugleich die nach der Formel:

$$x = c - p L \log t$$

berechneten Werte des Curventheiles No. 1, welcher den Verlauf der Nachwirkung nach der Entlastung darstellt, hinzugefügt.

TABELLE XIV.

Silber-Dehnung.

$T = 2880 \text{ Min.}$

$W = 0,4 \text{ kg.}$

$L = 1520$

t	Belastung.		Entlastung.		
	X		X		Δ
	beob.		beob.	ber.	
1	15,0		15,0	15,8	—,8
2	14,4		14,4	14,8	—,4
3	14,0		14,0	14,2	—,2
5	13,6		13,7	13,4	+,3
10	12,4		13,2	12,4	+,8
20	11,6		12,0	11,3	+,7
40	10,6		11,0	10,3	+,7
60	9,6		10,1	9,7	+,4
120	8,4		9,3	8,6	+,7
180	7,4		8,2	8,0	+,2
300	6,3		6,8	7,3	—,5
1340	2,4		4,2	5,0	—,8
2880	0,0		3,4	3,9	—,5

$$\tau = 8^{\circ},2$$

$$c = 15,8$$

$$p = 0,00227$$

$$\tau = 8,5$$

$$x = c - p \log t.$$

Die beiden Curven, welche das Verhalten der Nachwirkung nach der Befreiung von der Belastung darstellen, scheinen ziemlich ähnlich und die Ordinaten ihrer einzelnen Punkte den entsprechenden Gewichten nahezu proportional zu sein, trotz alledem ist sowohl hinsichtlich dieser Proportionalität als auch der Aehnlichkeit der Curven der erforderliche Grad von Genauigkeit bei weitem nicht erreicht.

Ebenso ist die Uebereinstimmung mit den berechneten Curven bei No. 1 sehr gering. Vgl. hierüber die Schlussbemerkung.

